$$\left|\begin{array}{ccc} \left(2 \equiv \dfrac{c}{\omega_0}\right) & \Leftrightarrow & \left(4 \equiv \dfrac{c^2}{\omega_0^2}\right) \\ \text{импульс} & \Big| \quad \Big| & \text{энергия} \\ \leftarrow \text{ Рупа расширения } \rightarrow & & \end{array}\right| \times \left|\begin{array}{ccc} \dfrac{1}{2} \equiv \dfrac{\omega_0}{c} & \Leftrightarrow & \dfrac{1}{4} \equiv \dfrac{\omega_0^2}{c^2} \\ \text{импульс} & \Big| \quad \Big| & \text{энергия} \\ \leftarrow \text{ Арупа сжатия } \rightarrow . & & \end{array}\right| \quad (6.106)$$

Иисус учил нас, род Человеческий, понимать не только **гуманистические Начала Живого**, основанные на **Любви, Добре, Красоте и Сострадании**, но и как **Великий Учёный - Бог**, сошедший к нам из Социума великой Цивилизации, говорил о **Источниках Космической Энергии, её освоении и эффективности применения**.

Это тематика содержания следующей главы.

Пришло Время, любезный Читатель, и я раскрываю Вам Сакральный Смысл Круга Универсума как Единство Связи гармонических колебаний Арупы и Рупы (табл.6.13).

Таблица 6.13

Единство волновых процессов Арупы и Рупы на примере Чисел Круга Универсума, кратных 1, 2, 3 и 4

Поля	Арупа				Равновесие	Рупа			
Продол-житель-ность	4	←3	←2	←1	← 0 →	1→	2→	3→	4
Волны	2^{-2}	$2^{-3/2}$	2^{-1}	$2^{-1/2}$	$\Leftrightarrow 1 \equiv \frac{1}{\sqrt{2}}\sqrt{2} \Leftrightarrow$	$2^{1/2}$	2^{+1}	$2^{7/2}$	2^{2}.

В этом **Универсальном Энергетическом поле**, потенциалы которого описывают **микро-макро Миры Вселенной**, Иисус говорит о том, что сумма Продолжительностей вращения точечного участка волны света по окружности (границе Вселенной) является потенциал - эквивалентом эффективности взаимодействия солнечного света.

$$1+2+3+(4 \equiv T_o) = (10 \equiv \rho_5). \qquad (6.104)$$

Иисус подсказывал нам, что гармонические колебания волн в Арупе и Рупе имеют обратные потенциалы (табл.6.13):

$$1 = \frac{1}{\sqrt{2}}\sqrt{2} \equiv (2^{1/2+1+3/2+2=5})\cdot(2^{-1/2-1-3/2-2=-5}), \qquad (5.45)$$

где эти потенциалы связаны между собой Пульсацией Импульсов - Энергий (рис.6.9):

$$8\varphi_0 \frac{m_c + E_\lambda}{m_c \cdot E_\lambda} \Leftrightarrow \frac{1}{8\varphi_0} \cdot \frac{m_c \cdot E_\lambda}{m_c + E_\lambda};$$

$$8^2 \cdot \pi^2/4 \cdot (2\pi)^2 \equiv 8\pi^4 \Leftrightarrow 1 \equiv (-1)^2 \qquad (6.100)$$

или в условиях перехода к (-1) получим:

$$2\sqrt{2} \cdot \pi^2 \equiv q \cdot \pi^2 \Leftrightarrow -1 \quad \text{и} \quad a \Leftrightarrow -1/\pi \equiv -m_c E_\lambda, \qquad (6.101)$$

где а - сторона основания великой Пирамиды является потенциал - эквивалентом вектора расширяющейся - сжимающейся оболочки жидкой плазмы ядра света ($-m_c E_\lambda$).

⁂

Сакраментальные Числа: Сороковица, Свабхават ○ связаны с описанием расширяющегося поля Вселенной и её пятеричной Связи:

$$8 \cdot 5 = 40. \qquad (6.102)$$

Антирезонанс в этом поле приводит к числу 13:

$$8 + 5 = 13, \qquad (6.103)$$

оболганному как **Чертова дюжина**, но лежащему в основе тринадцати - лунного Календаря Вселенной, где 1 год = 364 дня = 13·28 и День вне Времени.

⁂

Иисус Христос приходил, пытаясь поправить Моисея. Иисуса распяли. Но после Вознесения на Небо Иисус продолжал работать, диктуя Иоанну Откровения, а в нём Круг Универсума с потенциалами, кратными 1, 2, 3 и 4.

При **антирезонансе оболочек** окружающая среда пульсирует по правилу Золотого сечения; **при резонансе оболочек** ядра (6.97) энергетический поток из Недр ядра направлен в одну сторону с потенциалом минус единица. Эта однонаправленность обеспечивает условие Расширения Вселенной с потенциалом-эквивалентом числу оборотов E_λ на угол φ_o по окружности - кругу (табл.6.12).

Таблица 6.12

Расширение Вселенной точкой волны света

Изомерия	Параметры				Суммарный потенциал
	Число оборотов точечного участка волны по окружности				
Цис	φ_o	φ_o	φ_o	φ_o	$4\varphi_o E_\lambda =$
транс	$-\varphi_o$	$-\varphi_o$	$-\varphi_o$	$-\varphi_o$	$-4\varphi_o E_\lambda =$
Разность во взаимо-действии	$8\cdot(\varphi_o=\pi/2)\cdot(E_\lambda=1/\pi)\cdot(\lg \rho_1\rho_2\rho_3\rho_4\rho_5 = 2) \equiv 8 \equiv T_o c/\omega_o.$				

При совместной пульсации антирезонансных волны-частицы света возникает потенциал, равный:

$$8\cdot\varphi_o(m_c+E_\lambda) = 8\cdot\pi/2\cdot 2/\pi = 8. \qquad (6.98)$$

Резонансная пульсация волны-частицы света изменяет потенциал:

$$8\cdot\varphi_o\cdot m_c\cdot E_\lambda = 8\cdot\pi/2\cdot 1/\pi^2 = 4/\pi = \sqrt{\Phi}\,. \qquad (6.99)$$

Возникает известное в архитектуре **Золотое Число** Ф.

Пульсация света в приведённом режиме:

Возникает вторая оболочка полуэллипса ядра с потенциалом, равным ±28 (рис.6.10):

$$\pm 28 \equiv \pm[(m_c c + E_\lambda c = 2) - (-m_c c - E_\lambda c = -2)]\cdot(T_o + \tau = 7). \quad (6.95)$$

⁂

Полусферы - полуэллипсы оболочек ядра пульсируют в режиме цис-транс изомерии относительно друг к другу (рис.6.10).

Через каждый поворот на угол $\varphi_o \equiv \omega_o \equiv \pi/2$ возникает потенциал ±1 в конце поворота и потенциал ±1 в начале поворота точечного участка волны света по квантованной орбите. Возникает **Продолжительность** вращения точечного участка волны света по квантованной орбите, равная периоду $T_o = 4$ Продолжительности трансформации Энергетической Формы света в Рупе (рис.6.10):

$$T_o \equiv +1 - (-1) + 1 - (-1 = 4). \quad (6.96)$$

⁂

Вращаясь по квантованным орбитам волны света, точечный участок волны света, испытывает сопротивление окружающей среды, и период его вращения изменяется (рис.6.10):

Пульсация точечного участка волны света	
Резонанс $T_o = 4 \equiv \left(\sqrt{5}+1\right)\cdot\left(\sqrt{5}-1\right)$	Антирезонанс $1:\left(\sqrt{5}+1\right)=\left(\sqrt{5}-1\right):1$
В поле Дзиан-дробь $T_0 \cdot \int_0^1 \varphi\, d\varphi \cdot \int_1^0 \varphi\, d\varphi =$ $4\cdot 1/2\cdot(-1/2) = -1$	В поле Дзиан-дробь $1:\int_0^1 \varphi\, d\varphi \cdot \left(\sqrt{5}+1\right)=\left(\sqrt{5}-1\right)\cdot\int_1^0 \varphi\, d\varphi$ $= 1:\frac{\sqrt{5}+1}{2}=\frac{\sqrt{5}-1}{2}:1$ Правило Золотого сечения.

(6.97)

Периодичностью смен цис-транс изомерии обладают **сами Пентаграммы**, полуэллипсы ними с потенциалами ±27 и ±28, а также равновесные квантованные орбиты, образованные волной-частицей света и **дающие Начало** всем квантованным орбитам микро-макро Миров (рис.6.10):

Волна света как Начало квантованных орбит микро-макро Миров Вселенной
$L_o \equiv \pm 2\pi R_o \equiv \pm \pi D_o \equiv \pm \pi \cdot 1/\pi \equiv \pm 1.$

(6.93)

Этот вывод (6.93) значим для нашей цивилизации. Вспомните XVIII-XIX века, когда искали ответ на вопрос: почему электрон не падает на ядро атома?

Понять не смогли. Н.Бор постулировал: потому, что электрон вращается по квантованной орбите, где на своё вращение собственную энергию не расходует. Постулат - не доказательство. Но (6.93) - доказательство.

⁂

Пульсирующие **Пентаграммы** во внутреннем поле Яйца **вызывают пульсацию Оболочки Яйца**, то есть Зародыша Атома, его Ядра (рис.6.10).

Оболочка Капли-ядра возникает из импульсов света и электромагнитной среды в Арупе при достижении в Арупе квадрата первоначальной Продолжительности (рис.6.10).

$$\pm 27 \equiv \pm(m_c c + \varepsilon_o \mu_o c^2 + E_\lambda c = 3)\cdot(\tau^2 = 3). \qquad (6.94)$$

Затем, "**У Порога Четвёртого** (Рупа, $T_o = 4$) **Сынам указано создать свои Подобия. Одна треть отказывается** ($\varepsilon_o \mu_o c^2 = 1$). **Две** ($m_c c + E_\lambda c = 2$) **подчиняются** ([1]. Космогенезис. Станца V, п.5).

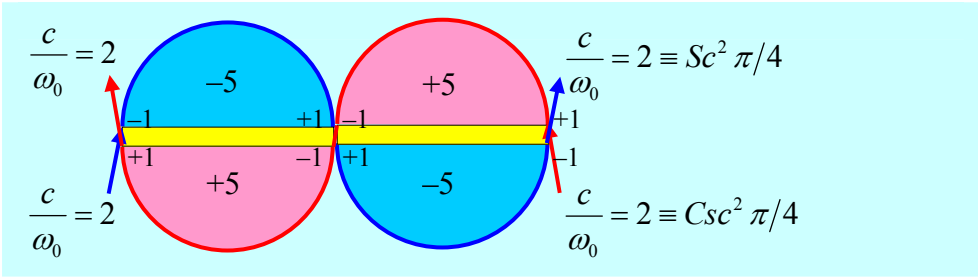

Рис.6.9 Движение импульса Света в Метагалактике: формирование ядерного вещества

По существу табл.6.11 и рис.6.9 описывают **"Пентаграмму в Яйце", то есть эллипсоидальное поле Свечения в Недрах Ядерного вещества** (рис.6.10).

⁂

Энергетическое поле Свечения от генератора Тонких Энергий базируется на чередовании цис-транс изомерических процессов (рис.6.10).

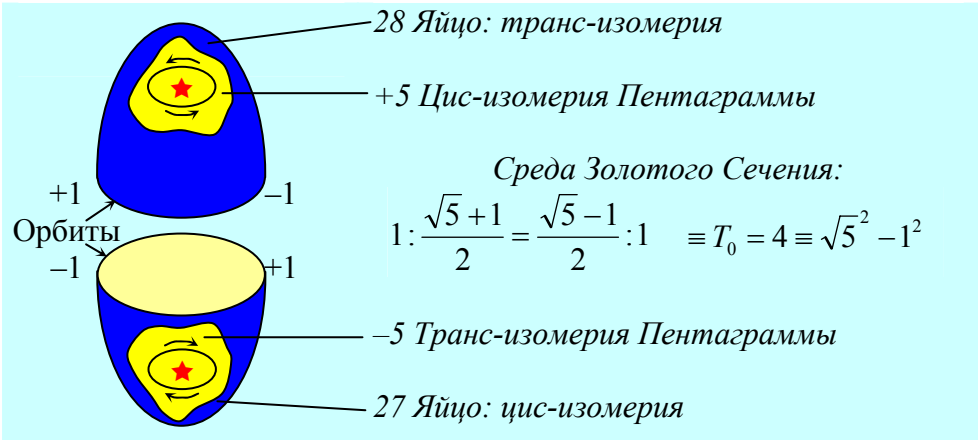

Рис.6.10 Свечение от генератора Тонких Энергий

1. Потенциалы $\pm 184 \cdot 10^{-8}$ и $\pm 920 \cdot 10^{-8}$ это не допустимая ошибка, связанная с точностью измерения, а потенциал на восьмом уровне солнечного ряда из восьми уровней.

Например, на восьмом уровне лунного ряда эти потенциалы составили величины (6.91):

$$\pm 6184 \cdot 10^{-7}; \quad \pm 92 \cdot 10^{-7}, \qquad (6.92)$$

а на шестом уровне, то есть на уровне Кундалини, эфирогазовые молекулы нейтрона и протона имели бы разные потенциалы.

2. Мы, получив данные по солнечному ряду (6.91), акцентируем внимание на том, что они выражены в кг-моль и начинаем путаться в размерностях.

Великая Цивилизация переходит к относительным единицам (табл.6.11).

Таблица 6.11

Изменение веса масс нейтрона, протона и электрона на восьмом уровне солнечного ряда (6.91)

Размерности	Поля		
	нейтрона	протона	электрона
кг-моль	$\Delta m_p \cdot N = \pm 184 \cdot 10^{-8}$	$\Delta m_n \cdot N = \pm 184 \cdot 10^{-8}$	$\Delta m_e \cdot N = \pm 920 \cdot 10^{-8}$
относительные единицы	$\pm \frac{184 \cdot 10^{-8}}{184 \cdot 10^{-8}} = \pm 1$	$\pm \frac{184 \cdot 10^{-8}}{184 \cdot 10^{-8}} = \pm 1$	$\pm \frac{920 \cdot 10^{-8}}{184 \cdot 10^{-8}} = \pm 5.$

Полученный результат (табл.6.11) говорит о том, что волны света $c/\omega_o = 2$, формируют между своими равновесными потенциалами ± 1 пятеричную связь (рис.6.9).

⁂

Великая Цивилизация *знала*, что нейтрон, протон и электрон формируются при сгущении **Эфира метагалактических волн и к ним применимы законы идеальных газов**.

Одним из законов идеальных газов является закон Авогадро: в одном грамм-моле любого газа содержится $0{,}023 \cdot 10^{23}$ молекул.

$$\boxed{\text{Число Авогадро: } N = 0{,}023 \cdot 10^{23} \text{ молекул.}} \qquad (6.90)$$

Применив Число Авогадро, мы сможем выразить массы протона, нейтрона и электрона (6.83) в килограммо -молях:

Вес масс нейтрона, протона, электрона, кг·моль			
Форма масс	Нейтрон	Протон	Электрон
Вес × кг-моль	$m_n \cdot N = 3846796 \cdot 10^{-8} \pm 184 \cdot 10^{-8}$	$m_p \cdot N = 3852086 \cdot 10^{-8} \pm 184 \cdot 10^{-8}$	$m_e \cdot N = 21139300 \cdot 10^{-8} \pm 920 \cdot 10^{-8}$.

(6.91)

Обрабатывая полученный материал (6.91), наша наука считает, что получила **результат с точностью** до восьмого знака после запятой в десятичной дроби.

Исходя из представлений **о точности** в науке, основанной на методе **приближений,** мы **создаем теорию ошибок**, а затем **конфликтуем в Науке и Религии**: ты считал не с той точностью и поэтому моя бомба сильнее, а мой Бог лучше.

⁂

Великая Цивилизация, получив результат (6.91) рассуждала так:

⁂

А нам говорят: догма об Аде незыблема. Черти извечны. Дрова, смола, сковороды, котлы, печи, то есть атрибут сельской пекарни - высшее достижение в натуральном хозяйстве Бога.

А кто говорит? Священнослужители всех религиозных Конфессий. **А кто они?** Часть сегодняшнего Социума Земли. **Что же это за Социум?** Это общество потребления, основанное на равнодушии к чужим страданиям и **душевной лени. Общество нисходящих**. Так не пора ли священникам **учиться, а не раздавать анафему** лучшим Умам Человечества?

6.6 Анализ справочных данных веса нейтрона, протона и электрона. Арупа и Рупа в изложении Иисуса Христа

Наши представления о **строении атома** на основе **нейтрона**, **протона** и **электрона** коренным образом отличаются от представлений великой Цивилизации, основанных на сгустках масс.

Тем не менее, мы продвигаемся вперёд, измеряя, рассчитывая массы нейтрона (m_n), протона (m_p) и электрона (m_e) в килограммах [9]:

Вес масс нейтрона, протона, электрона × кг			
Форма масс	Нейтрон	Протон	Электрон
Вес × 10^{-23}кг	$m_n = 1{,}67252 \pm 8 \cdot 10^{-5}$	$m_p = 1{,}67482 \pm 8 \cdot 10^{-5}$	$m_e = 9{,}191 \pm 4 \cdot 10^{-5}$

(6.89)

Душевная лень приводит к деградации Разума. Носитель Разума становится биомассой. Создатель вновь роняет в него Искру Пламени:

$$27+(E_{\lambda}c = 1) = 28 = 1+2+3+4+5+6+7, \qquad (6.88)$$

и предлагает пройти путь нового Испытания Кармой (гравитацией).

Этот путь мы проходили: **сначала Камень, потом Металл, Растения, Священные Животные, Ману-Мыслитель [1].**

Если ленивая душа отказывается, то она расщепляется на метагалактические волны:

$$\ldots = Sin\,\pi/4 = 1/\sqrt{2} \Leftrightarrow \sqrt{2} = Sc\,\pi/4 = \ldots. \qquad (6.89)$$

Это Кольцо, названное "Не преступи!"

⁂

Переход **смертельного Круга**, то есть Кольца "Не преступи!" **происходит добровольно**, но энергия при этом **не исчезает и не появляется вновь**, а меняет форму на **Вечную Тьму Самосущего Владыки метагалактических волн.**

Добровольный переход за Грани Смертельного Круга не нарушает дарованную Создателем **свободу выбора** или **Свободу Воли**.

Ты Сам себе Судья: и Ныне, и Присно, и Во Веки Веков. Выбирай свою Судьбу Сам.

Под воздействием дыхания Чакр в организме происходит фотосинтез в диапазоне всего солнечного белого света от красной области до фиолетовой, так как

$$\lambda_1 + \lambda_2 = 900Å \equiv (1400Å = \Delta K) - (500Å = \Delta \Phi). \quad (6.85)$$

Появляется **белая поверхностная электромагнитная** волна:

$$\pm(\lambda_1 - \lambda_2)^2 = \pm 36 \cdot 10^4 (Å)^2 \equiv \pm(\Delta Б = 3600Å) \cdot 100Å, \quad (6.86)$$

являющаяся носителем электромагнитной информации.

Возникают предпосылки для 108 реинкарнаций по Буддизму:

$$\pm(\lambda_1^2 - \lambda_2^2) = \lg \rho_1 \rho_2 \rho_3 \rho_4 \rho_5 = \pm 9 \cdot 6 \cdot 10^{-4} \cdot 2(Å)^2 =$$

$$\pm 108 \cdot 10^{-4} (Å)^2, \quad (6.87)$$

и Космос делит нас на Живых и Мёртвых: живыми во все 108 реинкарнаций остаются **взаимодействующие труженики Души (6.87); а мёртвыми становится пассивно пульсирующая биомасса наших ленивых современников** (табл.6.10).

Таблица 6.10

Живые и мёртвые Носители Разума

Форма Энергии	Живые	Мёртвые
Потенциалы	$\pm(\lambda_1^2 - \lambda_2^2) \cdot 2 = \pm 108$	$\pm(\lambda_1^2 - \lambda_2^2) \cdot (\pm \int_0^1 \varphi \, d\varphi) = \mp 27$
Условия Бытия	Труд Души	Душевная лень
Перевоплощения	Реинкарнации продолжаются	Реинкарнации заканчиваются
Цель Эволюции	Создание Бого - Человека: Человека Воли и Йоги	Новое восхождение по полям гравитации: **испытание Кармой.**

Пятеричный Лха $\equiv 5^4 \Leftrightarrow 1 \Leftrightarrow 5^{-4}$		
Скорости Пятеричного Лха $\equiv \frac{5^4}{T_0^2} \Leftrightarrow \frac{1}{16} \Leftrightarrow \frac{5^{-4}}{\sqrt{qq*}} \equiv V_M$		
Структура компонент Пятеричного Лха	Кундалини сжатия	$\frac{5^4}{T_0^2} \Leftrightarrow \left(\frac{5}{2}\right)^4 \equiv 2{,}5^{x+y+z+\tau_0}$
	Метагалактические волны	$\frac{1}{16} = 0{,}0625 = 5^4 \cdot 10^{-4} = 2^{-4}$
	Электрический ток и магнитная индуктивность	$\frac{5^{-4}}{\sqrt{qq*}} = \frac{1}{625 \cdot 16} = 10^{-4} \equiv$ 10^{-4}A $\Leftrightarrow 10^4$ 1/A.

(6.84)

Электромагнитная индукция и биоток подробно рассматривались мною применительно к Чакре Третий Глаз, когда на неё действовал электрический импульс qc с длиной волны в 4200Å.

Сохранение постоянства силы биотока в 10^{-4}A и индукции 10^4 1/A на этих длинах волн сдвигало энергетику сине-голубой чакры на λ = 4800Å в область фиолетовой волны $\lambda_ф$ = 4200Å, то есть в фиолетовую чакру, работающую на выход энергии из организма.

Возникает **Дыхание Чакр** (табл.6.9).

Таблица 6.9

Электромагнитное Дыхание Чакр, (А - ампер)

Электрический фон	Сила биотока	Равновесие	Индуктивность
	J = 10^{-4} A $\Leftrightarrow$ 1 $\Leftrightarrow$ 1/J = 10^4 1/A		
Цвет Чакр	Сине-голубая	Фиолетовая	Потенциалы
Форма энергии	электрическая	магнитная	Сумма: $\lambda_1 + \lambda_2 = 9 \cdot 10^2$Å Разность: $\pm(\lambda_1 - \lambda_2)$=600Å.
Длины волн	λ_1 = 4800Å	λ_2 = 4200Å	
Функциональный	Вдох	выдох	

Пульсация Кундалини					
Расширение		Равновесие		Сжатие	(6.81)
7/2 = 3,5	⇔	-1 ⇔ +1	⇔	2,5 ≡ 5/2.	

Основой энергетики пульсации Кундалини в магме протона является пульсация электромагнитных полей:

$$\mu \Leftrightarrow q \quad \text{и} \quad \mu^* \Leftrightarrow q^*, \tag{6.82}$$

и полей пятеричной связи:

$$\frac{магнетизм}{гравитация} = \frac{140}{28} = 5 \Leftrightarrow \frac{1}{5} = \frac{28}{140} = \frac{гравитация}{магнетизм}. \tag{6.83}$$

Оболочка протона (литосферы планет, поверхности Звёзд) формируется под влиянием пульсации четырёх полей (табл.6.8).

Таблица 6.8

Пульсация оболочки протона в микро-макро мире

Поля		Заряды		Импульсы		Связь		Произведения
M_1	=	$\mu/q=7/8$	×	$\mu*/q*=7/8$	×	5	=	$7^2/8^2\cdot5$
M_2	=	$q/\mu=8/7$	×	$q*/\mu*=8/7$	×	1/5	=	$8^2/7^2\cdot1/5$
M_3	=	$q/\mu=8/7$	×	$q*/\mu*=8/7$	×	1/5	=	$8^2/7^2\cdot1/5$
M_4	=	$\mu/q=7/8$	×	$\mu*/q*=7/8$	×	5	=	$7^2/8^2\cdot5$
Пульсация	$\lvert M_1\cdot M_3 \Leftrightarrow M_2\cdot M_4\rvert \rightarrow \lvert 5^2 \Leftrightarrow 1/5^2\rvert \rightarrow \lvert 5^4 \Leftrightarrow 1 \Leftrightarrow 5^{-4}\rvert$.							

Скорость пульсации (V_M) **оболочек протонов** микро-макро Миров связана с периодичностью $T_o^2 = 16$ пульсации в Рупе и электрическим полем $16 = \sqrt{qq*}$.

Такая связь: $T_o^2 = 16 = \sqrt{qq*}$, даёт возможность детализировать Пятеричного Лха, то есть контура колебания поверхности протона (табл.6.8):

Таблица 6.7

Электролиз в магме протона

Поглощение				Излучение (выделение)			
эффективности	число квантов (6.79)	экзотермия	транс-изомерия	эффективности	число квантов	эндотермия	цис-изомерия
10^{+14}	-12	27	-1/2	10^{-14}	36	-2,5	+1/2
$k_1 \equiv [-12\cdot 27\cdot(-1/2) = 162]\cdot 10^{14}$				$k_2 \equiv [36\cdot(-25)\cdot 1/2 = -450]\cdot 10^{-14}$.			

Примечания: $27 = \lg \rho_3 \rho_4 \rho_5 = \lg 10^{27}$;

$-25 = \lg \rho_1 \rho_2 = \lg 10^{-25}$;

$$\pm\frac{1}{2} = \pm\int_0^1 \varphi\, d\varphi\,.$$

При электролизе в магме протона выделяется масса относительного покоя ($m_o = 2,7 \approx e$) на любом энергетическом уровне с семеричной периодичностью (табл.6.7):

$$\frac{k_2}{k_1} \equiv \frac{-450\cdot 10^{-14}}{162\cdot 10^{-14}} = -2,7(7)\cdot 10^{-28}\,, \qquad (6.80)$$

где семь уходит в период и действует на любом энергетическом уровне.

⁂

Магма протона, как и магма Недр Земли, достигая литосферы, ломает её на блоки с преимущественным коэффициентом 7/2 и сгущает небесные тела с преимущественным коэффициентом 5/2 [11].

Это **сгущение небесных тел и разрушение оболочек протонов микро-макро миров** происходит под влиянием пульсации Кундалини:

Протон - это магма, электролиз которой проходит между гравитационными зарядами ($\sqrt{\rho\rho^*} = 28$) Недр в Капле ядерного вещества и электрическими ($\sqrt{qq^*} = 16$) зарядами поверхности каждой Капли (рис.6.8).

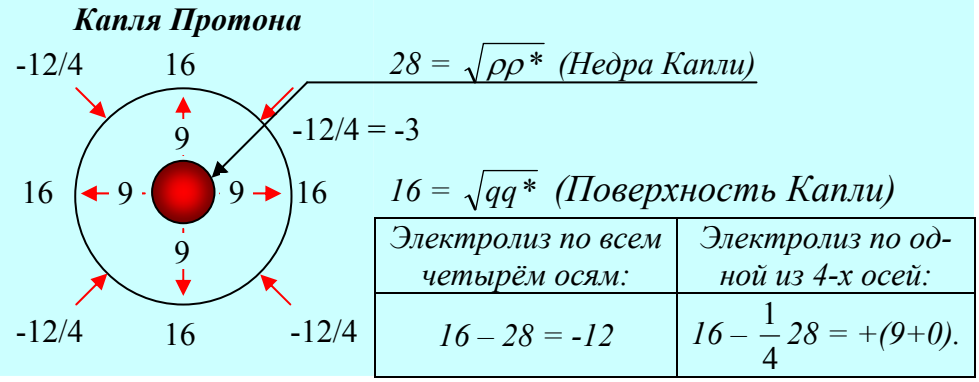

Рис.6.8 Электролиз в ядерной Капле протона

В ходе гравитационно-электрического электролиза **ядерная Капля протона будет поглощать по каждому из четырёх направлений квант с потенциалом -12/4 = -3, а всего -12.**

При гравитационно-электрическом электролизе **из ядерной Капли протона по одному из четырёх направлений выделяется квант с потенциалом 9,** а по четырем направлениям - квант с потенциалом света, **равный 9·4 = 36** (6.79, рис.6.8).

⁂

Поглощенные магмой протона кванты будут попадать в область экзотермических ядерных взаимодействий, а излученные протоном кванты света начнут своё движение в область эндотермии, так как будут расширяться в поля взаимодействий, обратных ядерным (табл.6.7). Причём поглощенная энергия будет обладать транс-изомерией, так как попадает в Хаос магмы протона, а излученная получит Гармонию небес, и будет иметь цис-изомерию (табл.6.7).

Цис-транс изомерические эндо-экзотер-мические колебания нейтрона	
Цис-изомерия экзотермии	Транс-изомерия эндотермии
$\rho_5 \cdot \lg \rho_3 \rho_4 \rho_5 = \int_0^1 \varphi \, d\varphi =$	$\rho_2 \cdot \lg \rho_1 \rho_2 = \int_1^0 \varphi \, d\varphi =$
$10 \cdot (+27) \cdot (+1/2) = +135$	$0{,}1 \cdot (-25) \cdot (-1/2) = +1{,}25.$

(6.77)

Отношение этих потенциалов (6.77):

$$135 : 1{,}25 = 108, \qquad (6.78)$$

предопределяет 108 взаимотрансформаций, в частности 108 реинкарнаций, о которых говорит Буддизм.

⁂

Наша наука говорит о протоне, но что это за сгусток массы не представляет совершенно, хотя и пытается рассчитать его вес. Поэтому даю характеристику протона:

Протон - это сгусток электромагнитной среды, пронизанный волной-частицей света (табл.6.6).

Таблица 6.6

Четыре поля формирования протона в ядерных взаимодействиях

Поля		Электромагнитные постоянные		Волна-частица света		Произ-ведения
L_1	=	$\mu_o = 4\pi \cdot 10^{-7}$	$\times$	$(m_c+E_\lambda):T_o^2=1/4\pi$	=	10^{-7}
L_2	=	$\varepsilon_0 = \dfrac{10^7}{4\pi \cdot c^2}$	$\times$	$\dfrac{T_0}{m_c^2 E_\lambda} = 4\pi^3$	=	10^7
L_3	=	$\dfrac{1}{\mu_0} = \dfrac{10^7}{4\pi}$	$\times$	$T_o^2:(m_c+E_\lambda) = 4\pi$	=	10^7
L_4	=	$1/\varepsilon_o = 4\pi \cdot c^2 \cdot 10^{-7}$	$\times$	$m_c^2 \cdot E_\lambda : T_o = 1/4\pi^3$	=	10^{-7}
Колебания		$\left\| \dfrac{L_2}{L_1} \Leftrightarrow \dfrac{L_3}{L_4} \right\| \rightarrow \left\| \rho_5 = 10 \Leftrightarrow \dfrac{1}{10} \equiv \rho_2 \right\|.$				

Постоянная Тонкой структуры: происхождение	
Замерено нашей наукой [9]	Объяснено мною
$1/\alpha = 137{,}0000021$	$\sqrt[E_\lambda]{\frac{m_0}{m_c}} \cdot \frac{\tau_\lambda - 1}{T_0 + 1} = \frac{3}{5}\pi \cdot e^{\pi}$.

(6.76)

⁂

Формирование нейтрона как Зародыша в Капле жидкой плазмы, где возникает Подсознание, то есть в Недрах Капли возникает за счёт полей Четырёх Форм, функционирующих за счет пульсации слабых взаимодействий света (табл.6.5).

Таблица 6.5

Четыре поля формирования нейтрона

Поля	Волны	Фотон-фононы	Заряды	Импульсы	Связь $5 = \frac{140}{28}$	Произведение
K_1	$= \mathrm{Sin}\ \pi/4 = 1/\sqrt{2}$	$\times\ m_c{}^{**} = 2\cdot10^{-3}$	$\times\ \rho = 28\cdot10^{-20}$	$\times\ \rho^* = 28\cdot10^{20}$	$\times\ 28$	$= 28^3 10^{-3}\sqrt{2}$
K_2	$= \mathrm{Sc}\ \pi/4 = \sqrt{2}$	$\times\ m_c{}^* = 8\cdot10^{-3}$	$\times\ \mu = 28\cdot10^{-20}$	$\times\ \mu^* = 28\cdot10^{20}$	$\times\ 140$	$= 8\sqrt{2}\ 14^3 10^{-2}$
K_3	$= \mathrm{Cos}\ \pi/4 = 1/\sqrt{2}$	$\times\ m_c{}^{**} = 2\cdot10^{-3}$	$\times\ \rho = 28\cdot10^{-20}$	$\times\ \rho^* = 28\cdot10^{20}$	$\times\ 28$	$= 28^3 10^{-3}\sqrt{2}$
K_4	$= \mathrm{Csc}\ \pi/4 = 1/\sqrt{2}$	$\times\ m_c{}^* = 8\cdot10^{-3}$	$\times\ \mu = 28\cdot10^{-20}$	$\times\ \mu^* = 28\cdot10^{20}$	$\times\ 140$	$= 8\sqrt{2}\ 14^3 10^{-2}$
Колебания	$\left\lvert \frac{K_2}{K_1} \Leftrightarrow \frac{K_3}{K_4} \right\rvert \Leftrightarrow \left\lvert \rho_5 = 10 \Leftrightarrow \frac{1}{10} \equiv \rho_2 \right\rvert$.					

Возникают цис-транс изомерические эндо-экзотермические колебания нейтрона (табл.6.5):

6.5 Строение Атома. Электромагнитное Дыхание Чакр

Наша наука представляет себе нейтрон как массу, не имеющей заряда.

Таких масс не бывает, ибо любая масса формируется на базе разноимённых зарядов-импульсов, и нейтрон не исключение.

Нейтрон - это масса, которая формируется гравитационным и магнитным зарядами-импульсами, находящимися в равновесии друг с другом:

Заряд нейтрона и масса относительного покоя	
Антирезонанс	Резонанс
$m_o^{\rho\rho^*-T_o\mu\mu^*} \equiv e^o = 1$	$m_o^{\rho\rho^*/T_o\mu\mu^*} \equiv e^1 = e.$

(6.75)

Эти массы относительного покоя с зарядом нейтрона (6.75) возникают там и тогда, где и когда гравитационный заряд делится на два магнитных, то есть практически в любой Точке - Капле Вселенной.

⁂

Появление массы относительного покоя происходит в поле волны-частицы света (m_c, E_λ) с пульсирующей периодичностью точечного участка волны света, то есть при $T_o \pm 1$.

В этом поле возникает загадочная для нашей науки, но такая естественная для Природы постоянная Тонкой структуры [9]:

Текст Станцы	Расшифровка текста
от каждого из Семи семижды Семь Светочей.	Резонансное равновесие **в полях ядерных взаимодействий** нейтрона: $1 \equiv \rho_4^{1/2} \cdot \rho_4^{-1/2} = 10^7 \cdot 10^7.$ (6.73) влечёт за собой появление логарифмических волн: $\lg 1 \equiv \lg 10^7 + \lg 10^{-7}$ $0 \equiv 7 - 7$ и $7 = 7.$ (6.74) **Каждый из этих двух Семи** пульсирует, создавая потенциал "Будь с нами!", равный $7^2 \cdot 4$ (6.69). Эти **семижды Семь Светочей** образуют оболочку (потенциал 49) ядра, пульсирующую с периодичностью T_o. Мы замеряем пульсирующее ядро и говорим: радиус ядра не имеет ярко выраженных границ и носит условный характер [9]: $R_o = (1{,}7 \div 1{,}3) \cdot 10^{-13}$ см..
Колёса охраняют Кольцо…	⁂ Небеса - Цинь (колёса) охраняют сгусток - Тянь (кольцо); электрон-позитронное облако охраняет нейтрон (рис.6.7).

Текст Станцы	Расшифровка текста
Так были созданы Арупа и Рупа	⁂ Рупа: $T_o \cdot 13 = 52$. Арупа: $\tau^3 = 27$ **Вечная связь между Арупой и Рупой** $52 = [27 - (E_\lambda c{=}1)] \lg \rho_1\rho_2\rho_3\rho_4\rho_5 = 2$ $52 \cdot \int_0^1 \varphi\, d\varphi = 27 - (E_\lambda c{=}1).$ (6.70)
от Единого Света Семь Светочей,	⁂ От $E_\lambda c\ m_c c = 1$ (Единый Свет) до $(m_c c = 1)\cdot(T_o + \tau = 7) = 7$ (Семь Светочей) Частота пульсации: $7^2 + 1 = 49 + 1 = 50.$ (6.71) Пульсация нейтрона (6.71) заставляет пульсировать Тянь и Цинь: Нейтрона: $\varepsilon_o\mu_o \cdot 50$; Цинь: $32 \cdot 50 = 1600$; Тянь: $64 \cdot 50 = 3200$; Тянь+2Цинь: $[64+32-(-32)]\cdot 50 = 6400/$ (6.72) Пульсирующие с частотой, равной 50 небеса - Цинь создают 16 электрон-позитронов, то есть 8 пар зарядов атмосферного кислорода, а затем 16 пар зарядов молекулярного кислорода (6.72). Над сгустком нейтрона появляется электрон-позитронное облако. Это электрическое облако, так как $16 \equiv \sqrt{qq^*}$ (6/72).

Текст Станцы	Расшифровка текста
	⁂ В поле всеобъемлющей пятеричной связи нисходят в гравитацию зародыша Недр ядра, а восходят в магнитное поле над Зародышем (рис.6.7). **Нисходящие - восходящие в Недрах Нейтрона** $\mathbf{5} = \frac{140 \equiv 10\sqrt{\mu\mu^*}(32 \equiv Цинь) - Восходят}{28 \equiv \sqrt{\rho\rho^*}(32 \equiv Цинь) - Нисходят}.$ (6.67)
кто в течение Кальпы продвигаются к Великому Дню "Будь с нами!"…	⁂ Равновесное поле атома или ЭГО восходящего - нисходящего имеет резонансный равновесный потенциал, равный 1: $Атом \equiv Эго \equiv m_c c \equiv 1.$ (6.68) Потенциал Великого Дня равен 13^2 (6.15) Переход **резонансного** контакта восходящих - нисходящих (6.67) к **антирезонансу** приводит к потенциалу Великого Дня: **Потенциалы нейтрона** (6.69) **Великий День**: $\mathbf{13^2} = 140+28+(m_c c=1) = 169$ **Кальпа**: $\mathbf{12^2} = 13^2 - 5^2 = 144$ **"Будь с нами!"**: $\mathbf{7^2 \cdot 4} = 196 \equiv 12^2 + 4 \cdot 13^2 \equiv 13 + (27 \equiv \tau^{\tau})$.

Текст Станцы	Расшифровка текста
	Ядерные взаимодействия **на электромагнитной поверхности нейтрона** могут быть экзотермическими (ядерный взрыв), а могут быть эндотермическими (инверсионный взрыв). Между этими формами взрывов возникает разность потенциалов логарифмических волн взаимодействий (6.65). $(\rho_4 \cdot \Leftrightarrow 16\pi c^3)\cdot(\lg \rho_3\rho_4\rho_5 = 27)+(-25 = \lg \rho_1\rho_2) =$ $(\rho_4 \cdot \Leftrightarrow 16\pi c^3)\cdot 2 \rightarrow 1/\pi^4 \equiv (m_c E_\lambda)^4 \rho_4 \Leftrightarrow 32.$ (6.66) Возникают Небеса - Цинь (6.66).
Это Кольцо, названное "Не преступи" для тех, кто нисходят и восходят	⁂ Сгущение небес - Цинь (6.66) в сгусток Тянь формирует планетарную систему (рис.6.7). 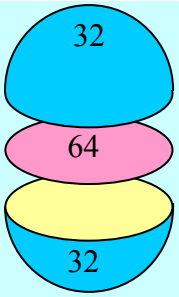 Колесо-Цинь для тех, кто восходит (цис-изомерия) Колесо "Не преступи!" (сгоришь) сгусток ядра Тянь Колесо-Цинь для тех, кто нисходит (транс-изомерия) *Рис.6.7* ***Колёса сохраняют Кольцо*** *[1] (Нейтрон)*

<table>
<tr><th>Текст Станцы</th><th>Расшифровка текста</th></tr>
<tr><td></td><td>Это даёт возможность выразить скорость пульсации сгустка в Арупе (6.62) через объём ($V_П$) великой Пирамиды (6.63):

$$V_B = \frac{1}{3}a^2\left(a = H\sqrt{Sin\,\pi/4}\right) \equiv \frac{1}{3}a^2 H \cdot 2^{-1/4};$$
$$V_B = V_П\sqrt{Sin\,\pi/4} \qquad (6.64)$$</td></tr>
<tr><td>и Пента-грамму в Яйце</td><td>Внутри нейтрона (внутреннее поле нейтрона $\varepsilon_o\mu_o c^2 = 1$) возникает поле с потенциал-эквивалентом Свечению от Генератора Тонкой Энергии (рис.5.4).
Сущность Пентаграммы состоит в описании перехода от гравитационного поля к магнитному (6.47, 6.48).
⁂
Энергетика пульсации поверхности Яйца связана с пятью тактами колебаний электромагнитных сред:

<table>
<tr><th colspan="6">Колебания поверхности нейтрона - Яйца</th></tr>
<tr><td>Такты колебаний</td><td>1</td><td>2</td><td>3</td><td>4</td><td>5</td></tr>
<tr><td>Электро-магнитная среда</td><td>$\frac{\varepsilon_0}{\mu_0}$</td><td>$\varepsilon_0\mu_0$</td><td>$\frac{\mu_0}{\varepsilon_0}$</td><td>$\frac{1}{\varepsilon_0\mu_0}$</td><td>$\frac{\varepsilon_0}{\mu_0}$</td></tr>
<tr><td>Ядерные взаимо-действия в ней-троне</td><td colspan="5">$\varepsilon_0 = \frac{10^7}{4\pi\cdot c^2}\frac{ф}{м} \Leftrightarrow 4\pi\cdot 10^{-7}\frac{гн}{м} = \varepsilon_0$
$\rho_5\cdot = 10^{14} \Leftrightarrow (4\pi)^2 c^2 \frac{гн}{ф} \equiv 16\pi\cdot c^3 \equiv$
$\rho_5\cdot \Leftrightarrow Q_2\cdot c^3.$</td></tr>
</table>
(6.65)</td></tr>
</table>

Текст Станцы	Расшифровка текста
	Корпускулярно-волновые колебания света в кубе (рис.6.7):

$$\frac{a^3}{m_c} \Leftrightarrow \frac{E_\lambda}{a^3} \to a^6 \equiv 16^2 \cdot 2 \Leftrightarrow E_\lambda m_c = \frac{1}{c^2} = \varepsilon_0 \mu_0 , \qquad (6.60)$$

сформируют сгусток электромагнитной резонансной среды, не несущей заряда. Это и есть нейтрон в ядерной плазме света $m_c E_\lambda$.

Нейтрон ($\varepsilon_o \mu_o$) формирует вокруг себя поле с потенциалом $162 \cdot 2 \equiv qq^* \cdot c/\omega_o$. В окружающей нейтрон среде возникают вихревые потоки электрической плазмы:

Нейтрон	Среда
$\varepsilon_o \mu_o \omega_o$ $\rightleftharpoons$	qq^*c

(6.61)

И когда нейтрон вращается вокруг собственной оси, электрическое поле совершает поступательное движение: элементарные заряды по поверхности проводников, электрические импульсы q* в просторах Вселенной.

⁂

Скорость пульсации Вселенной в Арупе будет равна:

$$V_B = \frac{a^3}{\tau} = \frac{1}{3} \cdot 16\sqrt{2} = \frac{1}{3} \cdot 8 \cdot 2\sqrt{2} \equiv \frac{1}{3} \cdot a^2 \cdot a . \qquad (6.62)$$

где сторона великой Пирамиды относится к её высоте:

$$\text{H} : \text{a} = 2^{7/4} : 2\sqrt{2} = 2^{1/4} \equiv \sqrt{Sc\,\pi/4} , \qquad (6.63)$$

как к потенциалу сжатой волны метагалактики.

Текст Станцы	Расшифровка текста
Куб,	Куб - это **идеальная вектор-эпюра** для описания **трёхмерного** сжатого сферического **пространства**, в которое куб вписан: 1. Шесть граней куба - эквивалент шести степеней свободы движения квантов по осям ±X, ±Y, ±Z (рис.6.7). 2. Восемь углов куба - эквивалент потенциалу (T_o c / ω_o = 8) расширяющейся Вселенной (рис.6.7). 3. Двенадцать рёбер куба - эквивалент Продолжительности $T_o \cdot \tau = 4 \cdot 3 = 12$, возникающей в сжатом внутреннем поле сгустка (рис.6.7).
Второй Единый	⁂ Это треугольник, образованный двумя радиусами R = 2 и ребром $a = 2\sqrt{2}$ куба, вписанного в сферическую поверхность Q_2 с радиусом R = 2 (6.57, рис.6.7). 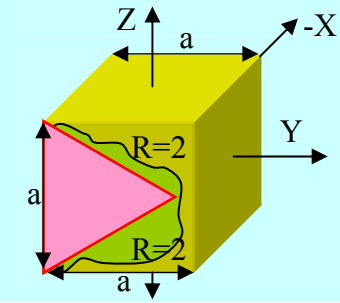 Ребро *a* - аналог стороны основания великой Пирамиды: $a \equiv \sqrt{R^2 + R^2} = \sqrt{8} = 2\sqrt{2}$ $a^2 = 8$ - основание великой Пирамиды (6.58) *Рис.6.7 Куб - эпюра трёхмерного Пространства Вселенной* Появление света в объёме куба влечёт за собой пульсацию сферической поверхности $Q_2 = 16\pi$ (6.57): $$\frac{a^3}{m_c} = \frac{16\sqrt{2}}{1/\pi} = 16\pi\sqrt{2} = Q_2 Sc\,\pi/4 = \ldots . \qquad (6.59)$$

Текст Станцы	Расшифровка текста
6. Липики очерчивают Треуголь-ник,	⁂ Липики - это Мысли с потенциалом $\rho^* = 28\cdot10^{20}$. Мысль - это Арупа (энергия вне формы) с продолжительностями $\tau = 3$ (треугольник). Поле (6.53) пульсирует в резонансно-антирезонансном режиме: $\frac{14+16}{2} \overset{к}{\Leftrightarrow} 14\cdot16$ $30 \Leftrightarrow 2\cdot14\cdot16$ (6.54) На эту пульсацию накладывается треугольник Мысли (5.54): $\rho_5 = 10 = \frac{30}{\tau} \Leftrightarrow \frac{2\cdot14\cdot16}{\rho^* = 28\cdot10^{20}} = 16\cdot10^{-20} \equiv q$. (6.55) В поле взаимодействия света возникает элементарный электрический заряд (6.55).
Первый Единый	⁂ **Первый Единый** - это элементарный электрический заряд (6.55) в сферической оболочке, которую создаёт волна-частица света: $10m_c \Leftrightarrow q/E_\lambda \equiv 16\cdot10^{-20}\pi \equiv Q_2\cdot10^{-20}$, (6.56) где 16π - эквивалент поверхности сферы с радиусом $R = 2$: $Q_2 = 4\pi\cdot(R=2)^2 = 16\pi$. (6.57)

Текст Станцы	Расшифровка текста
на каждом углу квадрата для четверых Пресвятых и для Воинств их.	⁂ Поле с потенциалом 240 (6.49) формируется в поле Рупы после сжатия и имеет скорость формирования, равную $$\frac{240}{T_0 = 4} = 60 . \qquad (6.50)$$ 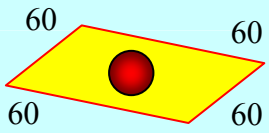 Приведённые колебания $$K = \frac{60^4}{4 \cdot 60} = 15 \cdot 3600 \qquad (6.51)$$ *Рис.6.6 Колебание в сжатом поле* Четверо Пресвятых - это Кундалини в поле света (рис.6.6): $$60 \equiv (3{,}5+2{,}5) \cdot 10 = \text{Кундалини} \times \rho_5, \qquad (6.52)$$ Воинства Кундалини - это излученный свет, несущий заряды-импульсы (6.51): **Структура света, излученной Кундалини** $$К = 15 \cdot 3600 \equiv (\sqrt{qq^*} + \sqrt{\mu\mu^*}) \int_0^1 \varphi \, d\varphi \cdot \Delta Б \qquad (6.53)$$ В сжатом поле (6.47) возникает белый солнечный свет и электромагнитный антирезонанс (6.53).

Таблица 6.4

<table>
<tr><th>Текст Станцы</th><th>Расшифровка текста</th></tr>
<tr><td>5. Фохат делает пять Продвижений</td><td>Задача Фохата перейти от гравитации к магнетизму (6.46) пятью переходами по гравитационному полю:
<table>
<tr><td rowspan="7">Пять Продвижений</td><td></td><td colspan="7">Гравитационные уровни</td><td rowspan="2">суммы</td></tr>
<tr><td></td><td>I</td><td>II</td><td>III</td><td>IV</td><td>V</td><td>VI</td><td>VII</td></tr>
<tr><td>1.</td><td>1</td><td>2</td><td>3</td><td>4</td><td>5</td><td>6</td><td>7</td><td>28</td></tr>
<tr><td>2.</td><td>7</td><td>6</td><td>5</td><td>4</td><td>3</td><td>2</td><td>1</td><td>28</td></tr>
<tr><td>3.</td><td>1</td><td>2</td><td>3</td><td>4</td><td>5</td><td>6</td><td>7</td><td>28</td></tr>
<tr><td>4.</td><td>7</td><td>6</td><td>5</td><td>4</td><td>3</td><td>2</td><td>1</td><td>28</td></tr>
<tr><td>5.</td><td>1</td><td>2</td><td>3</td><td>4</td><td>5</td><td>6</td><td>7</td><td>28</td></tr>
<tr><td colspan="2">суммы</td><td>17</td><td>18</td><td>19</td><td>20</td><td>21</td><td>22</td><td>23</td><td>140</td></tr>
</table>
(6.47)

После пяти Продвижений сжатия возникает уровень - эквивалент магнитному полю (6.46):

$$17+18+19+20+21+22+23 = 140 \equiv$$

$$1^2+2^2+3^2+4^2+5^2+6^2+7^2. \qquad (6.48)$$

За пять Продвижений Фохат добился своего: он трансформировал гравитационное поле в магнитное (6.47, 6.48).</td></tr>
<tr><td>и строит крылатое колесо</td><td>⁂

Сжатие гравитационного поля от 17 до 23 (6.47) возмущает окружающую среду и в ней возникает разность квадратов потенциалов, кратная волновому полю Святого Духа:

$$2\cdot\int_{17}^{23}\varphi\, d\varphi = 23^2 - 17^2 = 240\,. \qquad (6.49)$$</td></tr>
</table>

Подготовка к митозу	Кундалини	Резонансно-антирезонансный митоз
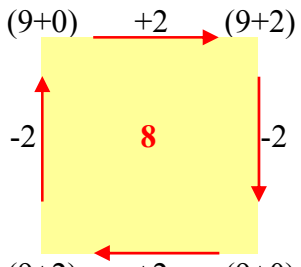	3,5 = 28/8	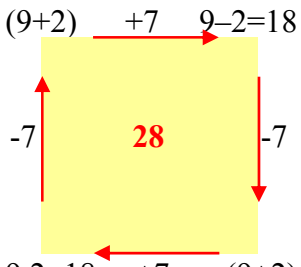

(6.45)

Подготовку к митозу и митоз проводит Кундалини (6.45).

⁂

Энергетика сгущения живого и неживого подобна, так как формируется разностью потенциалов между гравитацией сгустка и расширяющейся Вселенной, то есть за счёт 28 – 8 = 20, где 8 = 36 – 28 (6.45).

⁂

Сгущение формирует Рупу (объём) с периодичностью $T_o = 4$.

В поле сгустков с разностью потенциалов 28 – 8 = 20 возникает пятеричная связь, которая расщепляется на гравитационно-магнитные компоненты:

$$\frac{28-8}{T_0=4} = 5 = \frac{1^2+2^2+3^2+4^2+5^2+6^2+7^2}{1+2+3+4+5+6+7} = \frac{140\ магнетизм}{28\ гравитация}. \quad (6.46)$$

Чтобы из поля (6.46) сделать сгусток, это поле надо сжать, то есть применить силу Фохата (сжатие).

Великая Цивилизация описывает сжатие так (табл.6.4).

Митоз биологической клетки заканчивается появлением двух дочерних субструктур 2(9+0), эквивалентных молекулярному весу воды: $2(9+0) = 18 \equiv M_{H_2O}$. Поэтому Жизнь зарождается в Жидких Средах. Эти среды не воздвигают потенциального барьера перед Жизнью.

Митоз биоклетки связан с резонансно-антирезонансной пульсацией материнской субструктуры:

Митоз биоклетки: поведение субструктур			
Материнская субструктура	Митоз		Дочернии субструктуры
	Антирезонанс	Резонанс	
$(9+0) \xrightarrow{+2} (9+2) \xrightarrow{+7} 9\cdot 2 = 18 \xrightarrow{+0} 2\cdot(9+0).$			

(6.43)

Для митоза биоклетки из Космоса должно поступить 7+2 = 9 квантов Тонкой Энергии, то есть Арупа Космоса должна с периодичностью τ излучать свет:

Излучающая свет Арупа Космоса
$\tau^2 = 3^2 = 9+0 \equiv t\cdot(m_e c+E_\lambda c+\mu_o\varepsilon_o c^2 = 1+1+1 = 3).$

(6.44)

Материя будет перераспределять этот квант (6.43).

"5. Корень остаётся, Свет остаётся, Сгустки остаются и, всё же, Oeaohoo Един" ([1]. Космогенезис, Станца III).

⁂

Резонансно-антирезонансная пульсация как насос: она даёт "закачивать" Тонкую Энергию в Сгустки Материи, например в субструктуру (9+0) биоклетки (6.43, 6.42):

Пятеричный Лха в Арупе и Рупе
$5^2 \equiv T_o^2+\tau^2 = 4^2 = 3^2.$

(6.41)

⁂

Пятеричный Лха (энергия связи), как и любой энергетический уровень, например **Великий День** с потенциалом 15^2, **излучает энергию квантами и только тогда, когда его потенциал достигнет квадрата первоначальной величины.**

Это - **Закон Квантования** (размножение), и из материнской субструктуры (9+0) излучаются две дочернии субструктуры 2(9+0) только за счёт антирезонансно-резонансной пульсации:

Митоз субструктуры биоклетки			
Материнская субструктура	Митоз		Дочернии субструктуры
	Антирезонанс	Резонанс	
$\tau^2 = 9+0$	(9+2)	9·2 = 18	2·(9+0).

(6.42)

Микробиолог, как и любой иной теоретик от физики, не понимающий, что любой процесс протекает в условиях динамического перехода между антирезонансом и резонансом, **никогда не поймёт Основы выбранной им специальности: причины митоза биологической клетки.**

Митоз биологической клетки происходит на уровне её материнской субструктуры (9+0).

Зародыш - эквивалент Воображения, создаёт электромагнитную среду с потенциалом, равным корню квадратному из эффективности ядерных взаимодействий ($\rho_4 = 10^{14}$ и $\sqrt{\rho_4} = 10^7$).

Возникает электрическая (ε_o) и магнитная (μ_o) постоянные окружающих сред (6.39):

Реализация потенциала 10^{-7} в субстанции Космоса		
Постоянные сред [9]		Динамика Единства сред
электрической	магнитной	
$\varepsilon_0 = \frac{10^7}{4\pi \cdot c^2} \frac{ф}{м}$ $c = \pi$	$\mu_o = 4\pi \cdot 10^{-7} \frac{гн}{м}$	$10^{-7} \equiv \frac{\mu_0}{4\pi} \equiv \frac{1}{\varepsilon_0 4\pi \cdot c^2} \equiv \frac{1}{\sqrt{\rho_4}}$ $\mu_o \varepsilon_o c^2 = 1.$

(6.40)

Формирование электромагнитных сред с эффективностями, равными ($\rho_4^{\pm 1/2} = 10^{\pm 7}$) корню квадратному от ядерных взаимодействий (3.40) реализует в Сущности потенциал 10^{-7} (6.39).

Остаётся понять физическую сущность второго потенциала, равного 5^{-8} (6.39).

6.4 Гравитационно-магнитная Пятеричная Связь

Наука великой Цивилизации называет Пятеричную Связь между микро-макро квантами Единого Космоса **Пятеричным Лха** (Лха - это энергетический уровень колебания **оболочки по длине волны и её амплитуде**).

Пятеричная связь (Пятеричный Лха) возникает в Едином Космосе тогда, когда Периодичности Продолжительностей Рупы и Арупы достигнут квадрата первоначальных величин:

Кундалини и эффект Кирлиан		
Результат	*Эффект Кирлиан*	*Кундалини*
Форма полей	*Источник излучения*	*Логарифмическая волна*
Потенциалы полей	$10^6 \equiv \sqrt{\rho_3} \equiv \frac{1}{\sqrt[4]{\rho_1}}$	$\lg 10^6 = \equiv 3+(-3) \equiv 3{,}5+2{,}5 \equiv 3{,}5^2\text{-}2{,}5^2 \equiv$
Закон Единого Космоса	Поля метагалактических волн гравитации сжимает до $\sqrt[4]{2}$ и $1/\sqrt{2}$, то есть до $\sqrt{Sin\,\pi/4}$ и $\sqrt{Sc\,\pi/4}$. В Рупе - Арупе под воздействием гравитации возникает сгусток - эквивалент объёму великой Пирамиды: $V_{П} = \frac{T_0^2}{\tau}\sqrt{Sin\,\pi/4} = \frac{1}{3}\cdot 8 \cdot 2^{7/4}$.	

(6.38)

⁂

Фонон - это волна света. Кундалини - поверхность волны. Волна сгущается, образуя сгусток объёмом V_λ (рис.6.5, 6.34). Спирали Кундалини - оболочки света сжимаются вместе с волной-объёмом. Возникает поле с потенциалом:

Кундалини в сгустке фононов (рис.6.5)
$\text{Кундалини} \times V_\lambda \equiv 6\cdot\frac{1}{3}\cdot a_\lambda{}^2\cdot h_\lambda \equiv 6\cdot\frac{1}{3}\cdot m_c{}^*(m_c{}^{**})^4 \equiv$ $2\cdot 8\cdot 10^{-3}\cdot(2\cdot 10^{-3})^4 \equiv (16^2\cdot 10^{-15} \equiv qq^*\cdot 10^{-15}) \equiv$ $2^8\cdot(2\cdot 5)^{-15} \equiv 2^{-7}\cdot 5^{-15} \equiv \frac{1}{128}\cdot 5^{-15} \equiv 10^{-7}\cdot 5^{-8}.$

(6.39)

В этом поле (6.39) возникают Зародыши электрических импульсов Воображения ($qq^* = 10^{-15}$).

В этом поле (6.33) преобладают электромагнитные взаимодействия ($\rho_3 = 10^{12}$), переходящие в гравитационные:

Резонансное поле фотонов (6.33)		
Взаимодействия	Электромагнитное	Гравитационное
Глаз Дагма на левизне	☯ ≡ $(m_c*)^4$	$\rightleftarrows$ 64·64·($10^{-12} \equiv \sqrt{\rho_1}$)
Глаз Дагма на правизне	(10^{12}=ρ_3)[☯≡$(m_c*)^4$]	$\rightleftarrows$ 64·64 ≡ Тянь·Тянь.

(6.37)

При частотах $10^6 \equiv 10^6$ Гц мы выходим на эффект Кирлиана: Аура начинает светиться.

Именно на частоте 10^6 следует ожидать трансформации магнитных полей в электрические. А это значит, что передавая в эфир магнитную сверхсветовую волну, мы можем на приёме трансформировать её в электрическую или световую. Тогда путь к передаче сверхсветовой информации будет открыт.

⁂

Объём Пирамиды фононов, сжатых в фонон (рис.6.5) связан с Кундалини: **оболочка кванта света с потенциалом оболочки, равной 6.**

Кундалини является логарифмической волной от частот, вызывающих эффект Кирлиан, то есть Свечение Ауры Живого и минералов *Кания*:

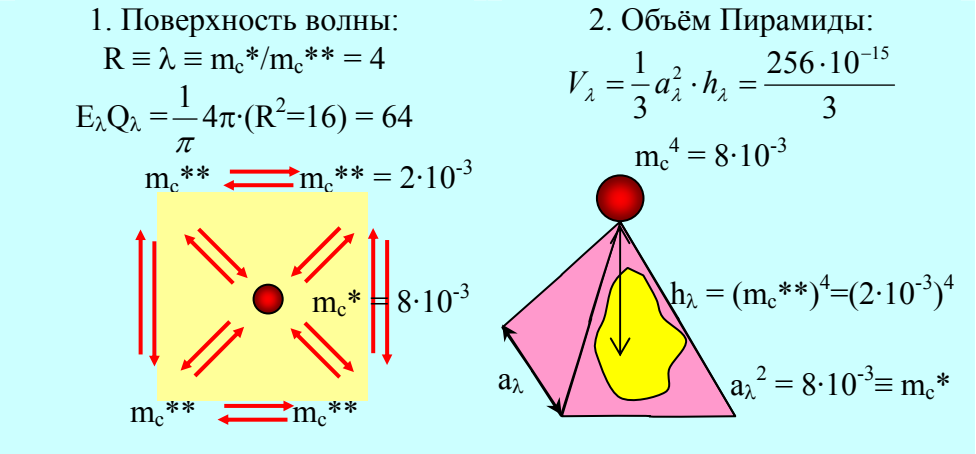

Рис.6.5 Сгущение фононов в фотоны

Пропорциональность в поле великой Пирамиды предопределяла Пирамида фотон - фононов и поверхностной волны света (рис.6.5).

Они создавали колебательный контур между Арупой и Рупой (6.35, рис.6.5):

Колебания Арупы - Рупы в Пирамиде	
От Рупы к Арупе	От Арупы к Рупе
$\frac{E_\lambda Q_\lambda}{V_\lambda} = \left(\frac{64\cdot 3}{256} = \frac{3}{4}\right)\cdot 10^{15}$	$10^{15}\left(\frac{4}{3} = \frac{256}{64\cdot 3}\right) \equiv \frac{V_\lambda}{m_c Q_\lambda}$
$\frac{3}{4} = \frac{\tau}{T_0}$	$\rightleftharpoons \quad \frac{T_0}{\tau} = \frac{4}{3}.$

(6.36)

⁂

Дальнейшая стадия сгущения Небесных Тел связана с переходом от **фотонов** к **атомам водорода и гелия** (рис.5.1, рис.5.2).

Резонансное сгущение Фотонов приводит к полю, описание динамики пульсации которого связана с диаграммой Ян-Цинь (6.33).

6.3 Сгущение волн света: диаграмма Ян-Цинь

Атома не будет, если фононы не сжать в фотоны. Переход от фононов к гелию уже рассматривался (рис.5.1). Поэтому остановимся на переходе фотон - фонон:

$$m_c^* = 0{,}008 \Leftrightarrow 0{,}002 = m_c^{**}, \qquad (6.31)$$

используя ту же методологию анализа, что и при сгущении метагалактических волн в фонон (6.21, рис.6.1).

Сгущение фононов в фотоны	
Режим	Потенциалы
Антирезонанс m_c^{**}	$m_c^* = m_c^{**}+m_c^{**}+m_c^{**}+m_c^{**} = 4\cdot2\cdot10^{-3} = 8\cdot10^{-3}$
Резонанс m_c^*: диаграмма Ян-Цинь	$☯ \equiv (m_c^*)^4 = (8\cdot10^{-3})^4 = 64\cdot64\cdot10^{-12} \equiv (\rho_3 = 10^{12})☯ \equiv (T_o\frac{c}{\omega_0} = 8)^2\cdot(T_o\frac{\omega_0}{c} = 2) \equiv 64\cdot64.$

(6.33)

⁂

Кинематика движения фотон - фононов формирует поверхности

Великая Цивилизация, опираясь на длину волны, эквивалентную отношению $m_c^*/m_c^{**} = 4$ (рис.6.5) брала за радиус, равный 2, отношение:

$$R \equiv \frac{m_c^*}{m_c^{**}}\int_0^1 \varphi\, d\varphi = \frac{4}{2} = 2\ , \qquad (6.35)$$

вписывала в окружность-круг с этим радиусом основание великой Пирамиды и считала потенциалы поля по любому сечению Пирамиды (рис.6.5).

Текст Станцы	Расшифровка текста
	При зеркально отраженных переходах **энергия не исчезает и не появляется вновь, но переходит из одной формы в другую с кратностью $2^{\mp 1/4} \Leftrightarrow 2^{\pm 1/4}$.** Достижение потенциала $2^{3/4} \equiv 2^{\tau/T_o}$ приводит к Кругу Универсуму, о котором говорил Христос Иоанну в "Откровениях".
каждый в свою очередь становится Миром.	⁂ Каждая **пылинка** жидкого кристалла повторяет свойства **Целого Кристалла**. Это происходит в условиях резонансного равновесия, когда $$1 = \sqrt{2}^{n} \cdot \frac{1}{\sqrt{2}^{n}} \equiv . \qquad (6.30)$$ Резонансное равновесие (6.30) сменяется антирезонансным: $$0 \Leftrightarrow \sqrt{2}^{n} \frac{1}{\sqrt{2}^{n}} \, u \, \sqrt{2}^{n} \cdot 0 \Leftrightarrow \sqrt{2}^{n}, u \, 0 \Leftrightarrow 1 . \qquad (6.31)$$ Возникают Гармония и Хаос. Появляется среда с потенциалом Дзиан (дробь): $$\int_0^1 \varphi \, d\varphi = \frac{1}{2} \Leftrightarrow -\frac{1}{2} = \int_1^0 \varphi \, d\varphi . \qquad (6.32)$$ В каждом Атоме возникают Космогенезис, Антропогенезис, Теогенезис, Перемены, Перевоплощения. Пылинка, отражая законы Мира, сама становится Миром.

Текст Станцы	Расшифровка текста
	$12^2 \cdot 2^{3/4} \Leftrightarrow 10^{-24} \cdot \sqrt{2}^{-14}$, что связано с Арупой - Рупой: **Ткань Атома - Атом Ткани** $(T_o \cdot \tau)^2 \cdot 2^{\tau/T_o} \Leftrightarrow 10^{-2\tau \cdot T_o} \cdot \sqrt{2}^{-\sqrt{\mu\mu^*}}$. (6.28)
Отражая, подобно зеркалу "Самосущего Владыку;	⁂ Самосущими в едином Космосе являются метагалактические волны с потенциалами $2^{\pm 1/2}$. В Ткани Атома этих волн имеется $\sqrt{2}^{\pm 14}$ *или* $\sqrt[4]{2}^{\pm 28}$. Эти **самосущные волны** действительно **Владыки** и **Корень**, ибо они являются **источником энергии Материи, дающим Жизнь.** Других Источников Энергии у Материи нет. Когда одни материалисты пожирают других, то это только трансформация одних форм материи в другие материальные формы. В таких переходах **нет источника энергии**, ибо и хищник и жертва плодятся - размножаются за счёт тонких Энергий Самосущего Владыки. Зарезав жертву, ты ничего не зачал в ней. Слова "**подобно зеркалу"** указывают на колебания метагалактических волн. Например, было как в (6.28), а станет $(T_o \cdot \tau)^2 \cdot 2^{\tau/T_o} \cdot \sqrt{2}^{-14} \Leftrightarrow 10^{-24}$. (6.29)

Текст Станцы	Расшифровка текста
отвердить Атом.	Колебания Три-Язычного Пламени (6.24): $$\Phi = -12 \cdot 10^6 \Leftrightarrow \frac{1}{-12 \cdot 10^6} \equiv \frac{1}{\Phi}. \qquad (6.25)$$ увеличивает мощность резонансного вихря фононов. Появляются электромагнитные взаимодействия (6.25): $$\rho_3 \cdot = 10^{12} \Leftrightarrow 1/(-12)^2 \equiv 1/144. \qquad (6.26)$$ Ещё одно колебание влечёт за собой появление гравитационных взаимодействий (6.26): $$(144)^2 \Leftrightarrow 1/(10^{12})^2 = 10^{-24} \equiv \rho_1, \qquad (6.27)$$ где отвердение Атома протекает под воздействием гравитационных (ρ_1) взаимодействий (6.27).
Каждый есть часть Ткани	⁂ **Каждый Атом - сгусток**, формирование которого подчиняется пропорциями великой Пирамиды (**её объёму** $V_П$). Каждая волна, в том числе гравитационная, связана с пропорциями Пирамиды Кундалини (6.21). Колебательный контур (2.27) должен учитывать объём Пирамид: $$\frac{144^2}{V_1 = 6} \Leftrightarrow \frac{10^{-24} \equiv \rho_1}{V_{\Pi} = \frac{1}{3} 8 \cdot 2^{7/4}};$$ $$144^2 \cdot 8 \cdot 2^{7/4} \Leftrightarrow 6 \cdot 3 \cdot 10^{-24};$$

В объёмных волнах метагалактики (Пирамида Кундалини) возникает ±3000 фононов:

Фононы Кундалини	
Цис-изомерия	Транс-изомерия
$V_1 : m_c^{**} = 6 : 0{,}002 = 3000$	$-V_1 : m_c^{**} = -6 : 0{,}002 = -3000.$

(6.22)

⁂

Дальнейший процесс сгущения фононов (волн Света) великая Цивилизация описывает в Космогенезисе Книги Дзиан ([1]. Станца III, п.12). Расшифруем эту Станцу (табл.6.3).

Таблица 6.3

Текст Станцы	Расшифровка текста
12. Тогда Свабхават посылает Фохат,	Свабхават ○ ≡ 4000 ≡ 4000Å = lф. Фохат ≡ давление $T_o\omega_o/c=2$. Фононы (6.22) пульсируют в резонансно - антирезонансном режиме: $\frac{резонанс}{антирезонанс} \equiv \frac{3000(-3000)}{3000-(-3000)} \equiv -\frac{3}{2}10^3.$ (6.23) Общий потенциал будет равен: $\Phi \equiv -4000\cdot 2\cdot 2/3\cdot 10^3 = -12\cdot 10^6.$ (6.24) Возникает Три-Язычное Пламя Четырёх Фитилей ($12 = 4\cdot 3 = T_o\cdot\tau$), [2]), а на частотах 10^6 Гц появляется эффект Кирлиана.

6.2 Пирамида Кундалини. Самосущие Владыки Космоса

Начало формирования Атомов связано со сгущением метагалактических волн в фонон (6.7). Причём сгущение метагалактических волн будет протекать в резонансно-антирезонансном режиме:

Сгущение метагалактических волн	
Антирезонанс	$a_1 = \frac{1}{\sqrt{2}} + \sqrt{2} + \frac{1}{\sqrt{2}} + \sqrt{2} = 3\sqrt{2}$
Резонанс	$H_1 \equiv \frac{1}{\sqrt{2}} \cdot \sqrt{2} \cdot \frac{1}{\sqrt{2}} \cdot \sqrt{2} = 1$
Объём Пирамиды	$V_1 = \frac{1}{3} a_1^2 \cdot H = \frac{1}{3}\left(3\sqrt{2}\right)^2 = 6 \equiv (3{,}5 + 2{,}5) \equiv$ Кундалини - Свет.

(6.21)

Кинематика сгущения метагалактических волн в фонон может быть описана векторной математикой для поверхностной и объёмных волн (рис.6.4).

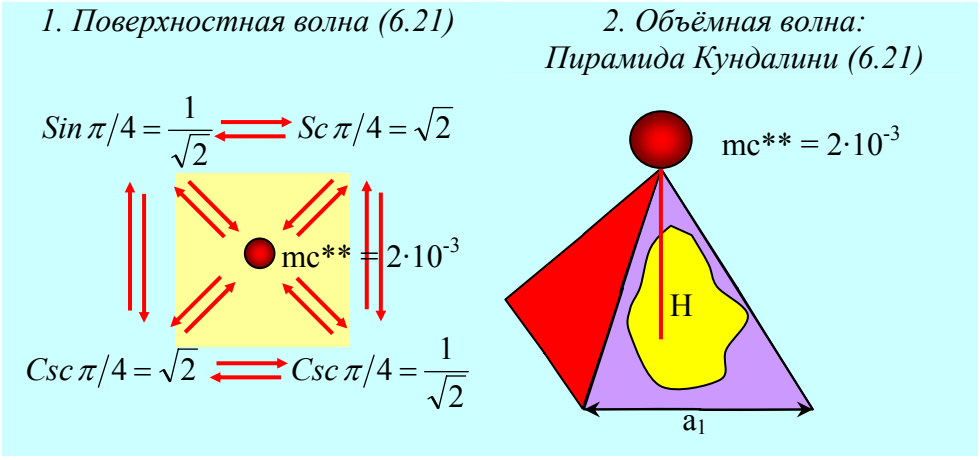

Рис.6.4 Описание сгущения метагалактических волн в фонон: Пирамида Кундалини (6.21)

Текст Станцы	Расшифровка текста
	Появление потенциала 112 в поле Вселенной с потенциалом 1008 приводит к девяти группам Периодических систем и субструктуре (9+0) в материнской биоклетке: $$\frac{1008 = 24 \cdot 42}{112} \equiv (9+0). \qquad (6.18)$$
они вмещают беспредельность	⁂ Поле с потенциалом 112 формирует **Мысль** (ρ*), **Память** (μ*) и **Воображение**: $$112 \equiv (7q^* \equiv 8\mu^* \equiv 4\rho^*)\cdot 10^{-20}. \qquad (6.19)$$ Это **беспредельность**. Поле с потенциалом 58 (5.17) - это 58 Божеств головного мозга, в котором **формируется беспредельность мысли, памяти и воображения**. Мозг их **вмещает**. В формировании содержимого мозга **участвуют 42 Божества твоего Сердца** (5.18). 42 Божества твоего Сердца и Вездесущий Бог Святой Дух неразрывно связаны пальмой импульсов мысли и воображения: **Связь Души и Духа** (6.20) Душа: $(T_o+\tau)(3,5+2,5)$ | Мысль - воображение | Святой Дух: $\tau T_o c/\omega_o$ $42 = \rho^*/q^* = 7/4 \times 24$. Читатель! Помни, наши Мысли и Воображение влияют на Ауру Земли: Гагарин видел её голубой, сейчас она в красно-коричневой ноосфере.

<table>
<tr><th>Текст Станцы</th><th>Расшифровка текста</th></tr>
<tr><td></td><td>
<table>
<tr><th colspan="3">Пульсация Календарных Дней</th></tr>
<tr><td>Дни года</td><td>Обычный день</td><td>Великий День</td></tr>
<tr><td>Лунная гравитация</td><td>$7\cdot T_o \Leftrightarrow -7T_o$
$28 \Leftrightarrow -28$</td><td>$7^2\cdot T_o \Leftrightarrow 7^2T_o$
$196 \Leftrightarrow 196$
$7\cdot 28 \Leftrightarrow 7\cdot 28$</td></tr>
<tr><td>Антирезо-нансное равновесие</td><td>$\pm 0 \Leftrightarrow \mp 56$
$0 \Leftrightarrow -28-28$</td><td>$\pm 0 \Leftrightarrow \mp 0$
$0 \equiv 196-196.$</td></tr>
</table>
(6.16)
Великий День сокращается, календарные дни разворачиваются Сами собой (6.16).
</td></tr>
<tr><td>и своими Серд-цами,</td><td>
⁂
Потенциал обычных дней равен ±28, а их разность ±56 (6.16).
В поле этой разности возникают взаимодей-ствия:
<table>
<tr><th colspan="3">Пульсация гравитационных волн во взаимодействиях</th></tr>
<tr><td>Режим</td><td>Резонанс</td><td>Антирезонанс</td></tr>
<tr><td>Разности во взаимо-действиях</td><td>$\pm 56\cdot \lg \rho_1 \rho_2 \rho_3 \rho_4 \rho_5 =$ ±112</td><td>$\pm(56+2) \equiv$ ±58</td></tr>
<tr><td>Субстан-ции</td><td>гравитацион-но-магнито-электрическое равновесие</td><td>58 Божеств в голове Человека.</td></tr>
</table>
(6.17)
</td></tr>
</table>

Текст Станцы	Расшифровка текста
Когда она охлаждается, она становится сияющей.	Речь идёт о термии Кундалини Света в условиях 13 лунной ритмики взаимодействий. В этой форме движения взаимодействия $\lg \rho_3 \rho_4 = 26$ будут приводить к экзотермии, а взаимодействия $\lg \rho_1 \rho_2 / \rho_5 = -26$, - к эндотермии. Пульсация полей с периодичностями 13 и 13^2 приведут к Семеричности и Оболочкам:

Пульсация Кундалини в 13 тактах

Термия	Экзо-	Эндо-
Обычный День	$\frac{7}{2}\frac{\lg\rho_3\rho_4=26}{13}$ $T_o+\tau=7$	$\frac{7}{2}\frac{\lg\rho_1\rho_2/\rho_5=26}{13}$ $-7\equiv 8\sqrt{\mu\mu^*}$ $\int_1^0 \varphi\, d\varphi$
Великий День	$\frac{7^2}{2^2}\frac{(\lg\rho_3\rho_4=26)^2}{13^2}$	$\frac{7^2}{2^2}\frac{(\lg\rho_1\rho_2/\rho_5=26)^2}{13^2}$
	оболочка:7^2	оболочка:7^2.

(6.15)

Кундалини - Свет в оболочках становится сияющим.

Сыны её разворачиваются и сокращаются Сами собой	⁂ И в обычный, и в Великий День Кундалини - Свет пульсирует с периодичностью точечного участка волны света:

Текст Станцы	Расшифровка текста
	В формуле (6.12) потенциал 152 - это квадрат потенциала внутреннего поля света с оболочкой 6 и пятью слоями - уровнями: **Внутреннее поле кванта Света - Кундалини** $(1+2+3+4+5=15)^2 \equiv$ $[(7\sqrt{qq^*}+8\sqrt{\mu\mu^*})\int_0^1 \varphi\, d\varphi\,]^2 \equiv$ (6.13) $[(16+14)\cdot\frac{1}{2}\,]^2 = \mathbf{15^2}$. Поле (6.13), являясь внутренним полем света, формирует антирезонансное электромагнитное поле, которое, **достигая квадрата своей первоначальной величины, переходит в другую Форму Энергии (Закон Квантования)**. ⁂ В формуле (6.12) резонансное равновесие связано с объёмом ($V_П$) великой Пирамиды и потенциалом окружающей Пирамиду среды, равной $2^{11/4}$ или (6.12): $V_П \cdot 2^{11/4} = 2\ V_П \cdot (2^{3/4} = 2^{\tau/4})$. (6.14) И вновь перед нами потенциал Круга Универсума с Числами, кратными 2, 3 и 4 (рис.5.2).

Текст Станцы	Расшифровка текста
чтобы вновь соединиться с ними.	Соединения и разводы вне разностей потенциалов нет. Любой потенциал является разностью потенциалов для окружающей среды. Например (6.4), где приведённая резонансно - антирезонансная пульсация имеет колебательный контур: $\frac{резонанс}{антирезонанс} \equiv \frac{4a \cdot 2a}{4a + 2a} \Leftrightarrow \frac{4a - 2a}{4a \cdot 2a} \equiv \frac{антирезонанс}{резонанс}$ $64a^2 \Leftrightarrow T_o \cdot \tau \cdot a.$ (6.9) Этот контур (6.9) - основа Книги Перемен: Колебания Тянь в поле $T_o \cdot \tau$: $T_o^3 a^2 \Leftrightarrow T_o \cdot \tau \cdot a,$ (6.10) где a - сторона основания великой Пирамиды, равная $2\sqrt{2}$ = a (рис.2.4). ⁂ Модулем колебательного контура синтеза - мультиплетности субстанции во Вселенной является неравновесие типа (6.10): $T_o^2 a^2 \Leftrightarrow \tau,$ (6.11) в котором имеют место и антирезонансное и резонансное равновесия: **Формы равновесия Вселенной** (6.11) Анти-резонанс: $0 \Leftrightarrow T_o^2 a^2 - \tau = 16 \cdot 8 - 3 = 15^2$ Резонанс: $1 \Leftrightarrow \frac{1}{\tau} T_0^2 a^2 = \frac{1}{3} a^2 \left(16 = 2^{\frac{7}{4}} \cdot 2^{\frac{11}{4}} \right) \equiv \left(\frac{1}{3} a^2 H \right) \cdot 2^{\frac{11}{4}} \equiv V_{П} \cdot 2^{\frac{11}{4}}.$ (6.12)

<table>
<tr><th>Текст Станцы</th><th>Расшифровка текста</th></tr>
<tr><td>чтобы вернуться в Лоно Матери</td><td>Метагалактические волны трансформируются светом со скоростью c = π и периодичностью $T_o = 4$.
При трансформации возникают волны:
Sin π/4 = Cos π/4 = $1/\sqrt{2}$ и $\sqrt{2}$ = Sc π/4 = Csc π/4
Возникает контур колебаний:
<table><tr><th>Сгущение</th><th>Расширение</th></tr><tr><td>$\sqrt{2}\cdot T_0^2\int_0^1 \varphi\, d\varphi =$
$\sqrt{2}\cdot 16\frac{1}{2} = 8\sqrt{2}$
4a</td><td>$\frac{1}{\sqrt{2}}\cdot T_0^2\int_1^0 \varphi\, d\varphi =$
$\frac{1}{\sqrt{2}}\cdot 16\left(-\frac{1}{2}\right) = -4\sqrt{2}$
2a</td></tr><tr><td>Периметр основания Пирамиды</td><td>Половина периметра основания Пирамиды.</td></tr></table>(6.7)
Синтез-мультиплетность любых форм энергии - процесс обратимый. Вопрос в Продолжительности?</td></tr>
<tr><td>при окончании Великого Дня,</td><td>Лоно Материнское, то есть субструктура (9+0) расщепляется на 13 гравитационных и 13 магнитных уровней (6.6), что связано с пульсацией Космоса.
<table><tr><th colspan="2">Тринадцати лунная пульсация</th></tr><tr><td>Верхний край</td><td>Нижний край</td></tr><tr><td>$k_1 = 24\cdot 42 = 1008$</td><td>$k_2 = 36\cdot 28 = 1008$</td></tr><tr><td>$k_3 = \int_0^1 \varphi\, d\varphi \cdot \int_{24}^{42} \varphi\, d\varphi$
297</td><td>$k_4 = \int_1^0 \varphi\, d\varphi \cdot \int_{28}^{36} \varphi\, d\varphi$
-128</td></tr><tr><td colspan="2">$k_3 + k_4 = 298 - 128 = 169 = \mathbf{13^2}$.</td></tr></table>(6.8)
В поле расщепления субструктуры (9+0) возник магнитный потенциал 13^2 (6.6 и 6.8).
Потенциал 13^2 завершает годовой цикл по 13 Лунному Календарю Майи. Он - День вне Времени. Он - Великий День.</td></tr>
</table>

Таблица 6.2

Пульсация Вселенной

([1]. Космогенезис. Станца III, п.11)

Текст Станцы	Расшифровка текста
Она распространяется, когда Дыхание Огня над нею;	Это половина диаграммы Ян-Цинь с импульсом сжатия (рис.6.2). 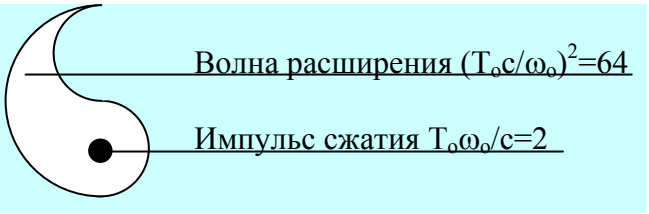 *Рис.6.2 Расширение импульса сжатия*
она сокращается, когда Дыхание Материи касается её.	Это вторая половина диаграммы Ян-Цинь с импульсом расширения (рис.6.3).. 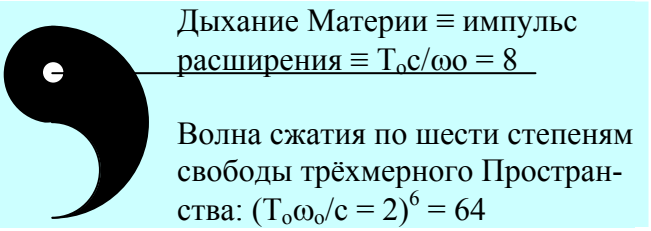 *Рис.6.3 Расширение импульса сжатия*
Тогда Сыны разъединяются и рассыпаются,	Рвутся пятеричные, семеричные, девятеричные связи: $$5=\frac{1^2+2^2+3^2+4^2+5^2+6^2+7^2}{1+2+3+4+5+6+7}=\frac{140}{28},$$ $$7=\frac{1^2+2^2+3^2+4^2+5^2+\ldots+10^2}{1+2+3+4+5+\ldots+10}=\frac{385}{55}, \quad (6.6)$$ $$9=\frac{1^2+2^2+3^2+4^2+5^2+\ldots+13^2}{1+2+3+4+5+\ldots+13}=\frac{811}{91}\cdot$$

$$\text{Свабхават } \bigcirc \equiv \frac{\rho\rho^*(-\rho\rho^*)}{(\mu\mu^*)^2}\left(\pm\frac{1}{2}\right)\cdot\left(\pm\frac{1}{2}\right) \equiv \mp\ 16{:}4\cdot 10^3 \equiv \pm 4000. \qquad (6.4)$$

Свабхават ○ завершает переходы в Круге Универсуме, а эпюра Круга Универсума описывает движение магнитных потоков в Капле-ядре (рис.5.2).

⁂

Потенциалы пульсирующего гравитационно - магнитного поля в Недрах Капли ядра и солнечно-лунной среды, окружающей Каплю, будут равны между собой и равны потенциалу расширения Вселенной, то есть восьми, при условии:

Вселенная - точка Света	Солнечно-лунные ряды	Недра Капли ядра	Электри-чество	Основание Пирамиды, апофема
$T_o c/\omega_o =$	$36 - 28 =$	$\frac{-(\rho\rho^*)^2}{\mu\mu^*}$	$\sqrt{qq^*}$	$a^2 \equiv \ell =$
8	8	$\int_0^1 \varphi\, d\varphi =$ 8	$\int_0^1 \varphi\, d\varphi =$ 8	8

(6.5)

Взяв основание (а2) и апофему (ℓ)за восемь, великая Цивилизация обеспечила векторное описание динамики энергетических процессов во Вселенной (6.5).

⁂

Расширяющаяся Вселенная, как и каждый точечный участок волны в Ней, пульсирует - дышит (табл.6.2).

⁂

Во Вселенной Теневой Край Материи, то есть границу между Материей и Тонкой Энергией, формируют **волновые поля с потенциалом 24 (Святой Дух) и 42 (Душа)** (рис.6.1).

Второй край Ткани - Вселенной формируют **солнечно-лунные ряды**, или Дух (солнечная энергия), Свет Единой Тьмы (лунный свет) (рис.6.1).

При этом из Космоса в Недра Капли ядерного вещества поступают гравитационные заряды-импульсы (рис.6.1). Соударяются (резонанс): $(\rho\rho^*)\cdot(-\rho\rho^*)$, а затем трансформируются в магнитные заряды-импульсы (рис.6.1):

Недра Капли - Ядра: гравитационно-магнитная трансформация	(6.3)
$(\rho\rho^*)\cdot(-\rho\rho^*) : (\mu\mu^*)\cdot(-\mu\mu^*) = -16 \equiv -T_o^2.$	

Процесс трансформации в Недра Капли-Ядра протекает в условиях резонанса (6.3). Поэтому **Две Сущности** (гравитационная и магнитная) (6.3) **воедино слиты** (рис.6.1).

При резонансном гравитационно-магнитном переходе выделяется энергия с потенциалом -16 (6.3), которая создаёт магнитные антирезонансные потоки в плоскости ХОУ (рис.6.1).

По каждой из четырёх ординат будет двигаться четверть от минус 16 (6.3).

Движение по осям ординат будет протекать в трёхмерном Пространстве Вселенной с эффективностью ρ_5^3, где $3 = x + y + z = \tau$.

Возникает Свабхават ○:

Таблица 6.1

Описание Строения Атома великой Цивилизацией

Текст Станцы	Расшифровка текста
Отец-Матерь пряли Ткань,	Возникает колебательный контур метагалактических волн: **Отец** | **Мать** $Sc\,\pi/4 = \sqrt{2}^{n} \Leftrightarrow \frac{1}{\sqrt{2}} = Cos\,\pi/4$ (6.2) Основа Пирамиды (табл.2.14)
верхний Край её прикреплён к Духу, Свету Единой Тьмы, а нижний к Теневому Краю, к Материи, и Ткань эта есть Вселенная, сотканная из Двух Сущностей, воедино слитых, что есть Сваб-хават ○.	Тонкая Энергия и энергия Материи связаны между собой постоянной вселенной: Const = 28·36 = 24·42 = 1008. (6.3) Эти постоянные и являются краями Ткани - Вселенной (рис.6.1). 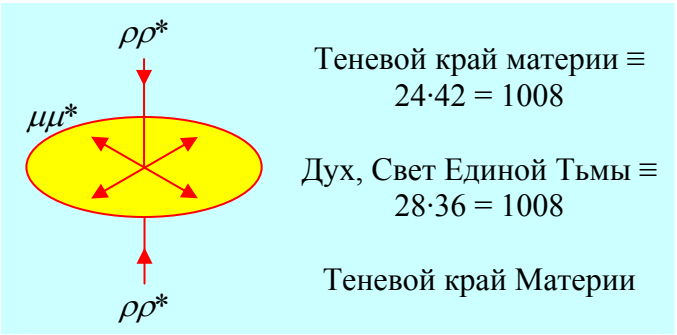 *Рис.6.1 Структура Ткани - Вселенной*

Структурные компоненты Атома						
По Н.Бору		Нейтрон	Нет	Протон	Нет	Электрон
Сегодня	Частицы	Нейтрон	Антипротон	Протон	Позитрон	Электрон
	Дырки	Есть	Есть	Есть	Есть	Есть

(6.1)

К сожалению, исследований, объединяющих эти десять компонент (6.1) нет: каждый обходится собственным постулатом, парадигмой, иллюзией. Классиков не трогают. Боятся.

6.1 Великая Цивилизация: введение в теорию строения Атома

Великая Цивилизация описывает Строение Атома с позиции энергетической связи метагалактической среды со светом, света с зародышами-импульсами, зарядов с массами атомов.

Мы, вернее наша наука, эту логическую связь разрываем, так как **уверены в отсутствии сверхсветовых волн Тонких Энергий**. Это приводит нашу науку **в тупик Приближений, а социум в невежество жестокости.**

Послушайте, как описывает строение Атома великая Цивилизация ([1]. Космогенезис. Станца III) (табл.6.1).

Глава 6
Строение Атома

В этой главе я проведу сравнение Знаний о Атоме сегодняшней наукой и Наукой великой Цивилизации.

⁂

Наши представления о Атоме сводятся к следующему [9]:

1. Атомом называется наименьшая частица химического элемента, обладающая его химическими свойствами [9].

2. Атом состоит из положительно заряженного ядра и электронов, движущихся в его кулоновском поле [9].

3. Атом формируют три частицы: **протон**, несущий положительный заряд, отрицательно заряженный **электрон**, а также **нейтроны**, не имеющие заряда.

Эти представления о Строении Атома сложились под влиянием авторитета Нильса Бора.

⁂

Развитие наукоёмких технологий в области полупроводников и микроэлектроники привело к тому, что принципы работы многих новых приборов не находили объяснения с позиции концепций Н.Бора.

Были обнаружены: позитрон, то есть электрон с положительным зарядом; антипротон (нейтрино), то есть протон с отрицательным зарядом, а самое главное Дырки, несущие заряды электрона - позитрона - протона - антипротона и не имеющие заряда и массы.

Вместо трёх компонент появилось десять: